

武蔵工業大学 正員 増田陳紀
武蔵工業大学 学生員 皆川勝
武蔵工業大学 学生員 長沢素孝

1. はじめに 開孔を有する板は、構造物を構成する部分構造としてしばしば用いられている。しかし、曲げを受ける有孔板についての有用な資料は、解析的にも数値的にもあまり与えられていない。本報告は、等分布荷重を受ける正方形板がその中心に板と同じ向きの正方形開孔を有するときの曲げ応力を有限要素解析により求め、開孔の大きさによって曲げ応力値および曲げ応力分布がどのような影響を受けるかについての資料を提供し、若干の考察を行った結果を発表するものである。

2. 対象構造のモデル化 数値解析は 1/4 対称部分について行うが、これは 3 つの矩形部分から構成される（図 1 参照）。ここでは、参考文献 1) における、等分布荷重ならびに中心集中荷重を受ける周辺単純支持および周辺固定支持の無孔正方形板に対する要素分割数と解析精度とに関する検討結果に基づいて、正方形 (B) 部に対しては開孔の大きさに応じて 10×10 , 8×8 , 6×6 ないし 4×4 の分割を、対応する矩形 (A, C) 部に対してはそれぞれ 10×2 , 8×4 , 6×6 ないし 4×8 の分割を採用した。また、要素分割型に関しては、種々検討した結果、各矩形部に対し中心から外側に向かい、かつ外側から中心に向かい要素辺長を 1.2 の割合で増大させたものを用いた（図 2 参照）。なお、ポアソン比は 0.3 として計算を行った。

3. 計算結果および考察—開孔部の大きさの影響— 本報告の範囲内では周辺単純支持および周辺固定支持の 2 つの境界条件のもとでの曲げ応力性状を検討した。計算結果より、上例として、開孔の大きさ $\varphi/a = 0.2$ に対する主曲げモーメント線図を図 2(a) および (b) に示す。曲げモーメントの正負の相異は実線と破線により区別してある。開孔を有する正方形板の曲げ応力分布は、図 3 の対称軸 (x 軸) 上、開孔辺 ($\partial'-\partial$) 上、支持辺 ($e'-e$) 上および対角線 ($d'-d$) 上の応力分布によって代表されると、これらを無孔の場合 ($\varphi/a=0$) の応力分布と共に図 4 に示す。対称軸は、開孔のない場合に作用する全荷重 q_0^2 に対して無次元化した曲げモーメントである。周辺単純支持 (図 (a)) の場合には、開孔偶角部において最大主曲げモーメントを生じ、その最大値は開孔の大きさが $\varphi/a = 0.2$ の付近で与えられ、無孔の場合の最大主曲げモーメントとの倍強である。また、 $\varphi/a < 0.2$ に対して最大主曲げモーメントの大きさは無孔の場合の最大値に比して大である。周辺固定支持の場合 (図 (b)) には、最大主曲げモーメントは固定辺中点で生じ、 $\varphi/a < 0.2$ に対してはその大きさは無孔の場合と比較して 2% 程度の差であるが、開孔偶角部の主曲げモーメントの大きさは、無孔の場合の対応する値と比較して 1.7 ~ 1.8 倍程度に増大する。これらの開孔による応力集中の影響領域は開孔偶角部より辺長の 10% 程度である。

4. おわりに 実構造物中においては、荷重、支持条件、開孔部の位置、大きさ、形状などは多様であり、また、各種の補強、補剛が施されるのが通常であるが、ここでは、板と同じ向きの正方形開孔を有する正方形板に等分布荷重が作用する場合に問題を限定し、かつ、支持条件を周辺単純支持および周辺固定支持の場合に限定して、開孔部の大きさによる曲げ応力性状への影響を検討した。得られた結果のこまかに数値については数値計算の精度の面から検討すべき部分が残されているものの、本報告が提示する基本的な資料は、上記的一般的な場合に対する参考になり得るものと考える。

参考文献 1) 吉田・雨宮・増田：立體構造解析のための薄板有限要素、土論集、No. 211, 1973, 3.

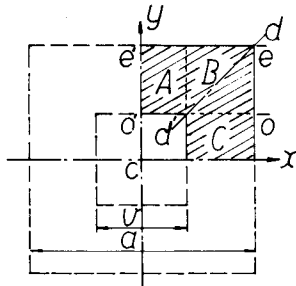
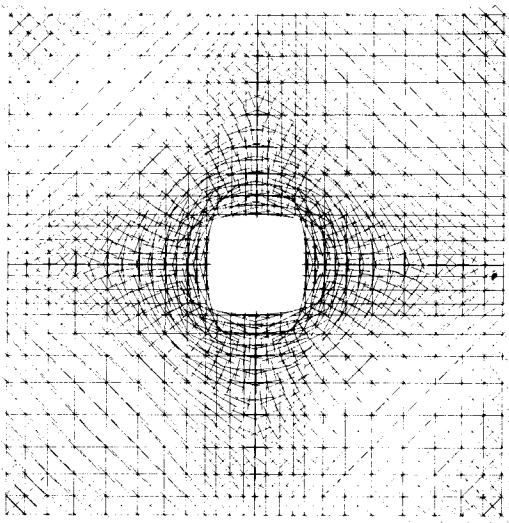
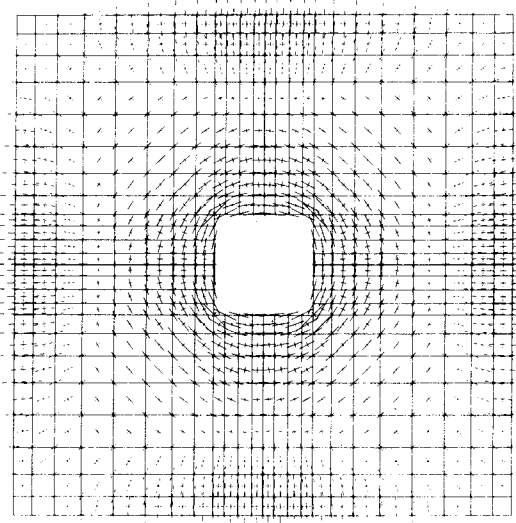


図 1. 対象構造と解析対象部分

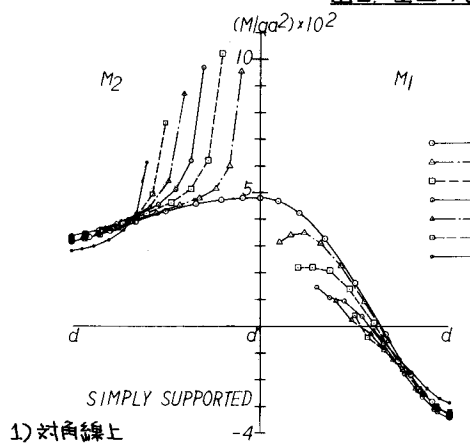


(a) 周辺単純支持



(b) 周辺固定支持

図2. 主曲げモーメント線図 ($v/a = 0.2$)



1) 対角線上

開孔の大きさ
○ $v/a = 0.0$
△ $v/a = 1$
□ $v/a = 2$
△ $v/a = 3$
△ $v/a = 4$
○ $v/a = 5$
× $v/a = 6$

$(M/qd^2) \times 10^2$

d d d

SIMPLY SUPPORTED

-4

M_2 M_1

10

5

0

-5

-10

M_2 M_1

10

5

0

-5

M_2 M_1

10

5

0